

Table 3. Chemical composition and rupture strength of 12% chromium heat-resisting steels.

| Steel Name. | Steel making Co. (Patentee) | C | Cr | Mo | V | Nb | B | N | Other element | Rupture strength (kg/mm²) at 650°C | | |
|-------------|-----------------------------|------|------|------|------|------|-------|--------|---------------|------------------------------------|--------|---------|
| | | | | | | | | | | 100 h | 1000 h | 10000 h |
| H 46 | Wm. Jessop | 0.15 | 11.5 | 0.45 | 0.30 | 0.25 | — | (0.05) | — | 22.0 | 15.0 | (6.0) |
| HGT 4 | Hadfields | 0.17 | 11.5 | 0.60 | 0.20 | 0.20 | 0.025 | 0.075 | Ti 0.10 | 25.7 | 16.9 | (11.0) |
| C 422 | Crucible steel | 0.20 | 13.0 | 1.0 | 0.30 | — | — | — | W 1.0 | 17.5 | 11.9 | — |
| 419 | Allegheny Ludlum | 0.25 | 10.5 | 0.50 | 0.40 | — | — | (0.05) | W 2.5 | 22.4 | 13.3 | (7.7) |
| TAF 1E | — | 0.16 | 12.0 | 1.0 | 0.2 | 0.25 | 0.03 | 0.03 | — | 28.0 | 21.0 | 14.5 |

(): Extrapolated value

わかる。

(4) 12%Cr 耐熱鋼の化学成分と破断強度

最近、諸外国、とくに英國、米国などでは 12%Cr 耐熱鋼の研究を非常によくおこない 600°C~650°C のクリープ破断強度をいちじるしく改良している。

昨年発表された HGT4 (Hadfields o.) 419 型 (Allegheny Ludlum o.) などは従来のものより高温強度を高めている。

これらの 12%Cr 耐熱鋼と、TAF-1E との 650°C の長時間の破断強度を比較すると Table 3 のごとくなる。これにより TAF-1E が長時間 10000 h においても、非常に強力であることがうかがえる。

IV. 結 言

以上の実験結果を要約するとつぎのごとくなる。

(1) B および N を複合添加した 12%Cr 耐熱鋼の長時間クリープ試験をおこなつた結果、B 0.03% および N 0.03% 添加したもののがもつともすぐれている。

(2) Ti および B を複合添加した 12%Cr 耐熱鋼は 650°C の短時間のクリープ歪は大きいが、クリープ破断時間は Ti および B を添加しないものよりかなり長くなる。

(3) B および N を複合添加した 12%Cr 耐熱鋼は 1250°C から焼入することにより、長時間(10000 h 程度)のクリープ破断強さがいちじるしく改善される。

(4) B を 0.1% 程度添加した 12%Cr 耐熱鋼は 650°C, 10000 h 烧戻をおこなつてもほとんど硬度は低下しない。

(5) N を 0.1% 程度添加した 12%Cr 耐熱鋼は 650°C, 10000 h の焼戻によりいちじるしく硬度が低下する。

(6) B, N, Ti などを複合添加した 12%Cr 耐熱鋼は 650°C, 10000 h の焼戻によつてもほとんど硬度は低下しない。

(7) TAF-1E は 650°C, 10000 h の破断強度は、HGT4, 419 型などにくらべて、はるかにすぐれている。

(111) オーステナイト系耐熱鋼の研究

Study on Austenitic Heat-Resisting Steels

R. Nakagawa, et alii.

金属材料技術研究所 工博 小西芳吉

東京大学工学部 故工博 芥川武

〃 工藤田利夫

金属材料技術研究所 工〇中川竜一

〃 工乙黒靖男

I. 緒 言

前報で Haynes Stellite 88 系、およびそれに Co, Nb などを加えた材料の組織、時効硬さについて報告した。今回はこの材料に種々の熱処理をほどこした場合のラプチャーティー時間を求め、また Ni, Co 量を増した材料について時効硬さ、組織およびラプチャーティー時間をもとめたので報告する。

II. 実 験 結 果

Table 1 に本実験に用いた試料成分をしめした。試料番号 54, 55, 56, 57 は高周波熔解炉で 20 kg 熔解し、1, 2, 7, 12 は高周波熔解炉で 4 kg, 18 は 7 kg 熔解したものである。ラプチャーティー試験片は 20 mm φ の丸棒に、顕微鏡組織および硬さ試験片は 10 mm 角に鍛造した。

Table 2 に種々熱処理をほどこした試料のラプチャーティー時間をしめした。ラプチャーティー試験温度は 800°C で 15 kg/mm², 12 kg/mm² の応力でおこなつた。

まず 1200°C および 1250°C の溶体化処理温度に保持する時間の影響をもとめた。1250°C では 15 分間保持して水冷したものより 1 時間のほうが、各試料ともラプチャーティー時間、伸びがすぐれている。これは 15 分間では溶体化がまだ十分でないためと考えられる。

つぎに 1200°C では 1, 2, 5 時間の溶体化処理をほどこしたが、このように時間をかえても、ラプチャーティー時間はあまり変化がない。

さらに 1200°C で 1 時間溶体化処理したものに時効処理による影響をみると、800°C のラプチャーティー試験では、

Table 1. Composition of samples (%)

* Addition.

| No. of Sample | C | Mn | Si | Ni | Cr | Co | Mo | Ti | Al | Nb | B* | W | N* |
|---------------|------|------|------|-------|-------|-------|------|------|-----|------|------|------|-----------|
| 54 | 0.08 | 1.11 | 0.59 | 15.62 | 15.21 | | 2.60 | 0.33 | | | 0.15 | 0.48 | |
| 55 | 0.07 | 0.73 | 0.58 | 16.06 | 12.66 | 8.55 | 1.90 | 0.80 | | | 0.15 | 0.52 | |
| 56 | 0.08 | 0.77 | 0.60 | 15.70 | 14.16 | 11.30 | 2.30 | 0.57 | | 0.59 | 0.15 | 1.02 | |
| 57 | 0.07 | 0.77 | 0.67 | 16.00 | 15.45 | 8.75 | 2.50 | 0.54 | | 0.54 | 0.15 | 1.00 | 0.05 |
| 2* | 0.15 | 1.5 | 0.6 | 16 | 16 | 8 | 1.5 | 2 | 1.5 | | 0.05 | 1.0 | |
| 7* | 0.1 | 1.5 | 1.0 | 25 | 15 | 15 | 3 | | 1.0 | 1.0 | 0.05 | | 0.05 V0.3 |
| 12*, 18* | 0.2 | 1.5 | 0.6 | 20 | 15 | 25 | 4 | 1.0 | 1.0 | 1.0 | 0.05 | | |

Table 2. Rupture time of various heat-treated samples. (800°C 12 kg/mm² * 15 kg/mm²)

| Heat-treatment | Rupture time h. (Elongation %) | | | |
|--|--------------------------------|---------------|--------------|--------------|
| | 54 | 55 | 56 | 57 |
| 1250°C × 15 mn → W.Q. | 9.7*(22.0%) | 9.5*(16.7%) | 7.8*(19.3%) | 15.4*(36.7%) |
| 1250°C × 1 h → W.Q. | 24.0*(40.0%) | 15.5*(36.0%) | 30.8*(37%) | 18.3*(40%) |
| 1200°C × 2 h → W.Q. | 17.7*(37.3%) | — | 17.2*(16.0%) | 21.8*(39.3%) |
| 1200°C × 5 h → W.Q. | 6.5*(13.3%) | 16.6*(25.7%) | 87.4 (21.0%) | 19.9 (40.7%) |
| 1200°C × 1 h → W.Q. 850°C × 2 h → W.Q. | 19.1 (54.0%) | 26.4 (57.3%) | 44.6 (58.3%) | 33.2 (56.7%) |
| 1200°C × 1 h → W.Q. 850°C × 5 h → W.Q. | 20.4 (51.0%) | 37.1 (53.3%) | 30.0 (65.3%) | 36.5 (54.7%) |
| 1200°C × 1 h → W.Q. 750°C × 24 h → W.Q. | 30.6 (53.3%) | 107.1 (48.3%) | 52.2 (57.3%) | 41.2 (50.0%) |
| 1200°C × 1 h → W.Q. 850°C × 2 h → W.Q. 750°C × 24 h → W.Q. | 15.2 (46.3%) | 36.8 (34.0%) | 37.5 (60.0%) | 34.0 (67.1%) |

750°C で時効させた方が 850°C で時効させたものより好結果を得た。これは 850°C では硬さ測定でもわかるように、over aging を生じたためであろう。850°C では 2 時間でも 5 時間でも変りがない。750°C 处理の前に 850°C で時効させても、同様に over aging のためよくない。

以上のような材料では、熱処理のみをいかに変化しても、この程度以上のラプチャーハードネスはえられない。

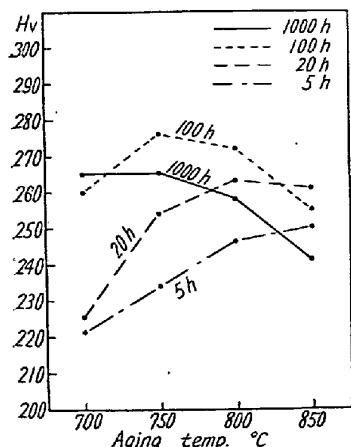


Fig. 1. Solution-treated at 1250°C (No. 12 Alloy.)

さらに Table 1 に示す 2, 7, 12 の試料を溶解した。2 は前述の試料に Al を加えたもの、7 は Ni をましたもの、および 12 は Co をさらにましたものである。

この材料の組織の変化および時効硬さを、各溶体化処理温度と時効温度において測定した。その結果の一部を

Fig. 1 に示した。Fig. 1 は 1250°C で 1 時間溶体化処をおこない、各温度で時効させた結果をしめすものである。合金組成からも想像されるように、12 が一番安定な傾向をしめしている。

この 12 について、前と同様に 800°C でラプチャーテストをおこなつた。結果を Table 3 にしめした。Table 3 では、Table 2 の 54~57 よりはるかにすぐれた性質をしめす。熱処理別にみると、前と同様に 850°C の

Table 3. Rupture time h. of No. 18.
(800°C 12 kg/mm² * 15 kg/mm²)

| Heat-treatment | Rupture time h (Elongation %) |
|--|----------------------------------|
| 1250°C × 1 h → W.Q. 750°C × 24 h → W.Q. | 398.4 (35.0%) |
| 1250°C × 1 h → air cool 750°C × 24 h → air cool | 27.6 (10.3%) |
| 1250°C × 1 h → W.Q. 850°C × 1 h → W.Q. 750°C × 24 h → W.Q. | 220.7 (24.3%) |
| " | 47.1*(55.7%) |
| 1180°C × 3 h → air cool 750°C × 24 h → air cool | 101.9 (27.7%) |
| 1250°C × 1 h → W.Q. | 231.6 (20.3%) |

時効処理は 750°C よりも悪く、また空冷より水冷のほうが好結果をしめしている。1250°C で 1 時間溶体化処理したままのものより、その後に 750°C で 24 時間時効処理を加えるとラプチャータイムを増している。

III. 結 言

- 1) 前報に引きつづき Haynes Stellite 88 系耐熱鋼の熱処理のラプチャータイムにおよぼす影響を調べた。
- 2) この系では、熱処理のみによりある程度以上のラプチャーハードネスは望めないので、さらに Ni および Co をまし、Ti および Al を添加した材料の時効硬さなどを調べた。
- 3) この試料のうち、良好と思われる試料についてラプチャーテストをおこなつた。

してもつとも多く使用されているオーステナイト系耐熱鋼の代表的なものの一つであるが、25% の多量の Ni を含有しており、耐熱性をおとさずにその Ni 量を減らして、より安価な他元素によつて置換えることは経済的にもまた資源的にも重要な問題である。すでに Ni の一部あるいは全部を Mn で代替する研究をみかけるが、筆者らは鋼の合金元素としての N がオーステナイト形成元素としての役割と同時に、C と異なり鋼の延性を害なうことなくその高温強度を高める作用をもつ点に着目し、N を合金元素として十分に活用しようとの観点から低 Ni Timken 型合金について大気中で安全に熔製し得る N の最大量をもとめるとともに、耐熱性におよぼす N および Ni, C などの影響をしらべた。本報ではそのうち主として時効特性について報告したい。

II. 試 料

試料の配合組成を Table 1 にしめす。熔解原料中 Cr, Mn, Ni, Fe はいずれも電解製、Mo は単体金属として、N は研究室で調製した窒化クロムで、また C は高純度のフェロカーボンで添加した。試料はタンマン炉の急速熔解による熔湯を数本の 6×5×100 mm のシェル型にそいで鋳塊とし、熱間圧延および 1200°C × 1 h の溶体化処理によつて十分均質化して以下の実験に供した。表中 N0～N4 は他元素量を一定にして 0～0.4% の N の影響をみるためのものであるが、N 0.4% 配合の N4 は熔製時に多量の N₂ ガスの放出によつて健全な鋳塊がえられなかつたので、本系合金の大気中熔製で安定に合金化することのできる N 量は約 0.3% が限度と思われる。そこで N を 0.3% に一定し、Ni 13～Ni 17 は Ni 13～17% の影響を、また C 10 および C 15 は 0.15% までの C の影響を調べるために調製し、また比較のため標準組成の Timken 16-25-6 合金も熔製した。

(112) 16-15-6 型合金の時効について

(耐熱材料における合金元素としての
窒素の作用について—Ⅱ)

Aging of 16-15-6 Type Alloys
(On the function of nitrogen as an alloying
element in heat-resisting materials—Ⅱ)

R. Tanaka, et alii.

東京工業大学 工博 岡本正三・工○田中良平
〃 工 佐藤 昭・石塚健雄

I. 緒 言

今日耐熱合金としては Fe 基のみならず、さらに高度の要求に応じて Ni 基、Cr 基合金が注目されるようになり、これら超合金の研究は日を逐つて盛となつてきた。しかしながら一方では稀少高価な元素を節約した経済的な耐熱材料をつくりだそうとする研究もまた重要視されつつある。Timken 16-25-6 合金はガスターピン材料と

Table 1. Charge composition (%) of alloys used.

| Mark | Cr | Ni | Mn | Mo | C* | N* |
|----------------|------|------|-----|-----|-------------|-------------|
| N 0 | 16.0 | 15.0 | 7.5 | 6.0 | 0 (0.05) | 0.0 (0.01) |
| N 1 | 16.0 | 15.0 | 7.5 | 6.0 | 0 (0.06) | 0.1 |
| N 2 | 16.0 | 15.0 | 7.5 | 6.0 | 0 (0.05) | 0.2 |
| N 3 | 16.0 | 15.0 | 7.5 | 6.0 | 0 (0.05) | 0.3 (>0.25) |
| N 4 | 16.0 | 15.0 | 7.5 | 6.0 | 0 (0.05) | 0.4 |
| Ni 13 | 16.0 | 13.0 | 7.5 | 6.0 | 0 (0.05) | 0.3 (>0.22) |
| Ni 14 | 16.0 | 14.0 | 7.5 | 6.0 | 0 (0.04) | 0.3 |
| Ni 16 | 16.0 | 16.0 | 7.5 | 6.0 | 0 (0.04) | 0.3 |
| Ni 17 | 16.0 | 17.0 | 7.5 | 6.0 | 0 (0.04) | 0.3 (>0.24) |
| C 10 | 16.0 | 15.0 | 7.5 | 6.0 | 0.10 (0.11) | 0.3 |
| C 15 | 16.0 | 15.0 | 7.5 | 6.0 | 0.15 (0.16) | 0.3 |
| Timken 16-25-6 | 16.0 | 25.0 | 1.0 | 6.0 | 0 (0.05) | 0.15 |

* The figures appearing in parentheses show those by chemical analysis.